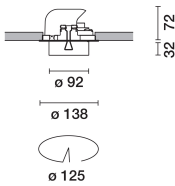


Ultimo aggiornamento delle informazioni: Gennaio 2025

Configurazione di prodotto: RM77.01

RM77.01: Proiettore orientabile ad incasso - corpo Ø92 - ottica Flood - 20.3W 2079lm - 3000K - CRI 90 - Bianco



Codice prodotto

RM77.01: Proiettore orientabile ad incasso - corpo Ø92 - ottica Flood - 20.3W 2079lm - 3000K - CRI 90 - Bianco

Descrizione tecnica

Proiettore orientabile per installazione ad incasso. Struttura portante con cornice di battuta e corpo luminoso orientabile in alluminio pressofuso. Molle di fissaggio in filo di acciaio. Elemento di raccordo e rotazione in materiale plastico ad alta resistenza, concepito come copertura interna estetica e funzionale ad incasso installato. Rotazione disponibile 359° - Orientabilità +60° (esterna) -20° (interna). Gruppo ottico con sorgente LED ad elevato indice di resa cromatica. Il riflettore antigraffio in alluminio P.V.D (Physical Vapour Deposition) permette di ottenere ottime prestazioni di rendimento ed efficienza. In dotazione unità di alimentazione dimmerabile DALI collegata all'apparecchio. Possibilità di installazione di un accessorio frontale piano - vetro di protezione o rifrattore per distribuzione ellittica. Riflettori intercambiabili in tutte le aperture previste disponibili come accessori.

Installazione

Inserimento ad incasso su controsoffitto - fissaggio tramite molle in filo di acciaio per spessori da 1 a 25 mm.

Colore
Bianco (01)

Peso (Kg)
0.69

Montaggio
incasso a soffitto

Cablaggio
Connessione diretta alla rete sui morsetti dell'unità di alimentazione inclusa.

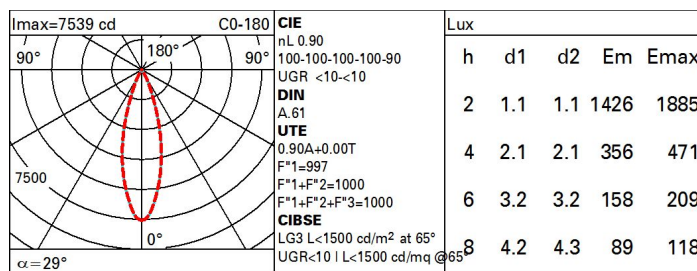
Soddisfa EN60598-1 e relative note



Dati tecnici

| | | | |
|--|-------|------------------------------------|---------------------------------|
| Im di sistema: | 2079 | CRI (minimo): | 90 |
| W di sistema: | 20.3 | Temperatura colore [K]: | 3000 |
| Im di sorgente: | 2310 | MacAdam Step: | 2 |
| W di sorgente: | 17 | Life Time LED 1: | > 50,000h - L90 - B10 (Ta 25°C) |
| Efficienza luminosa (lm/W, dati di sistema): | 102.4 | Codice lampada: | LED |
| Im in modalità emergenza: | - | Numero di lampade per vano ottico: | 1 |
| Flusso totale emesso a 90° o superiore [Lm]: | 0 | Codice ZVEI: | LED |
| Light Output Ratio (L.O.R.) [%]: | 90 | Numero di vani ottici: | 1 |
| Angolo di apertura [°]: | 29° | Control: | DALI-2 |

Polare



Coefficienti di utilizzazione

| R | 77 | 75 | 73 | 71 | 55 | 53 | 33 | 00 | DRR |
|------|----|----|----|----|----|----|----|----|-----|
| K0.8 | 81 | 77 | 74 | 72 | 76 | 74 | 73 | 70 | 78 |
| 1.0 | 85 | 81 | 78 | 76 | 80 | 78 | 77 | 75 | 83 |
| 1.5 | 89 | 86 | 84 | 82 | 85 | 83 | 82 | 80 | 89 |
| 2.0 | 92 | 90 | 88 | 87 | 88 | 87 | 86 | 84 | 93 |
| 2.5 | 93 | 92 | 91 | 90 | 91 | 89 | 89 | 86 | 96 |
| 3.0 | 95 | 94 | 93 | 92 | 92 | 91 | 90 | 88 | 98 |
| 4.0 | 96 | 95 | 94 | 94 | 93 | 93 | 92 | 89 | 99 |
| 5.0 | 96 | 96 | 95 | 95 | 94 | 94 | 92 | 90 | 100 |

Curva limite di luminanza

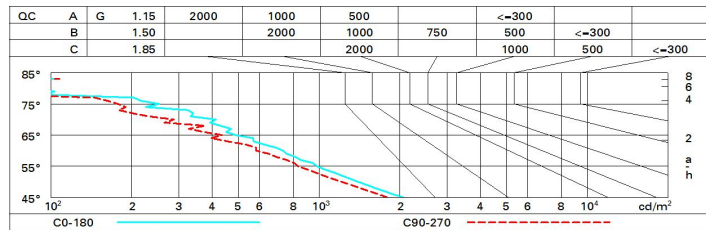


Diagramma UGR

| Corrected UGR values (at 2310 lm bare lamp luminous flux) | | | | | | | | | | | |
|---|------|------------------|------|------|------|------|----------------|------|------|------|------|
| Reflect.: | | viewed crosswise | | | | | viewed endwise | | | | |
| ceil/cav | | 0.70 | 0.70 | 0.50 | 0.50 | 0.30 | 0.70 | 0.70 | 0.50 | 0.50 | 0.30 |
| walls | | 0.50 | 0.30 | 0.50 | 0.30 | 0.30 | 0.50 | 0.30 | 0.50 | 0.30 | 0.30 |
| work pl. | | 0.20 | 0.20 | 0.20 | 0.20 | 0.20 | 0.20 | 0.20 | 0.20 | 0.20 | 0.20 |
| Room dim | | | | | | | | | | | |
| x | y | | | | | | | | | | |
| 2H | 2H | 5.5 | 6.0 | 5.7 | 6.2 | 6.4 | 5.0 | 5.5 | 5.3 | 5.7 | 6.0 |
| | 3H | 5.3 | 5.8 | 5.7 | 6.1 | 6.4 | 4.9 | 5.3 | 5.2 | 5.6 | 5.9 |
| | 4H | 5.3 | 5.7 | 5.6 | 6.0 | 6.3 | 4.8 | 5.2 | 5.1 | 5.5 | 5.8 |
| | 6H | 5.2 | 5.6 | 5.5 | 5.9 | 6.2 | 4.7 | 5.1 | 5.1 | 5.4 | 5.8 |
| | 8H | 5.2 | 5.6 | 5.5 | 5.9 | 6.2 | 4.7 | 5.1 | 5.0 | 5.4 | 5.7 |
| | 12H | 5.1 | 5.5 | 5.5 | 5.8 | 6.2 | 4.7 | 5.0 | 5.0 | 5.4 | 5.7 |
| 4H | 2H | 5.3 | 5.7 | 5.6 | 6.0 | 6.3 | 4.8 | 5.2 | 5.1 | 5.5 | 5.8 |
| | 3H | 5.1 | 5.5 | 5.5 | 5.9 | 6.2 | 4.7 | 5.0 | 5.0 | 5.4 | 5.7 |
| | 4H | 5.1 | 5.4 | 5.5 | 5.8 | 6.1 | 4.6 | 4.9 | 5.0 | 5.3 | 5.7 |
| | 6H | 5.0 | 5.3 | 5.4 | 5.7 | 6.1 | 4.5 | 4.8 | 4.9 | 5.2 | 5.6 |
| | 8H | 4.9 | 5.2 | 5.4 | 5.6 | 6.0 | 4.4 | 4.7 | 4.9 | 5.1 | 5.6 |
| | 12H | 4.9 | 5.1 | 5.3 | 5.5 | 6.0 | 4.4 | 4.6 | 4.9 | 5.1 | 5.5 |
| 8H | 4H | 4.9 | 5.2 | 5.4 | 5.6 | 6.0 | 4.4 | 4.7 | 4.9 | 5.1 | 5.6 |
| | 6H | 4.8 | 5.0 | 5.3 | 5.5 | 6.0 | 4.4 | 4.6 | 4.8 | 5.0 | 5.5 |
| | 8H | 4.8 | 5.0 | 5.3 | 5.4 | 5.9 | 4.3 | 4.5 | 4.8 | 5.0 | 5.5 |
| | 12H | 4.7 | 4.9 | 5.2 | 5.4 | 5.9 | 4.2 | 4.4 | 4.7 | 4.9 | 5.4 |
| 12H | 4H | 4.9 | 5.1 | 5.3 | 5.5 | 6.0 | 4.4 | 4.6 | 4.8 | 5.1 | 5.5 |
| | 6H | 4.8 | 5.0 | 5.3 | 5.4 | 5.9 | 4.3 | 4.5 | 4.8 | 5.0 | 5.4 |
| | 8H | 4.7 | 4.9 | 5.2 | 5.4 | 5.9 | 4.2 | 4.4 | 4.7 | 4.9 | 5.4 |
| Variations with the observer position at spacing: | | | | | | | | | | | |
| S = | 1.0H | 6.9 / -11.0 | | | | | 6.9 / -11.3 | | | | |
| | 1.5H | 9.7 / -12.9 | | | | | 9.7 / -13.2 | | | | |
| | 2.0H | 11.7 / -14.7 | | | | | 11.7 / -15.2 | | | | |